

# پیش‌بینی غلظت آمونیوم و مواد آلی فاضلاب دفنگاه زباله با استفاده از شبکه عصبی مصنوعی

محمد جواد ذوقی<sup>۱</sup>

تکنم ذوقی<sup>۲</sup>

محسن سعیدی<sup>۳</sup>

(دریافت ۸۷/۱۱/۵ پذیرش ۸۸/۸/۱۸)

## چکیده

در این تحقیق به منظور پیش‌بینی میزان غلظت مواد آلی و آمونیوم موجود در فاضلاب دفنگاه زباله با استفاده از شبکه عصبی مصنوعی، دو سیستم در آزمایشگاه مدل شد. برای آموزش و تست مدل شبکه عصبی، از نتایج آزمایشگاهی بدست آمده استفاده شد. سیستم ۱، فقط شامل راکتور حاوی زباله تازه بود. در این سیستم فاضلاب پس از تولید، بر روی زباله تازه بازگردانده می‌شد. سیستم ۲، شامل راکتور حاوی زباله تازه و راکتوری حاوی زباله خوب تجزیه شده بود. در این سیستم، فاضلاب پس از خروج از زباله تازه بر روی راکتور حاوی زباله خوب تجزیه شده، تخلیه و سپس بر روی زباله تازه بازگردانده می‌شد. نتایج آزمایشگاهی نشان داد که در سیستم ۱، ایناشتگی مواد آلی و  $\text{NH}_4^+$  رخ داد، اما حذف مواد آلی و  $\text{N}-\text{NH}_4^+$  در سیستم ۲ به خوبی صورت گرفت به طوری که در طول مدت آزمایش، میانگین راندمان حذف مواد آلی در سیستم ۲، معادل ۸۵ درصد و میانگین راندمان حذف  $\text{N}-\text{NH}_4^+$  معادل ۳۴ درصد بود. همچنین پیش‌بینی میزان غلظت مواد آلی و  $\text{N}-\text{NH}_4^+$  بوسیله شبکه عصبی مصنوعی، با توجه به شاخصهای آماری با کارایی بالایی صورت گرفت.

**واژه‌های کلیدی:** تجزیه بی‌هوایی، شبکه عصبی مصنوعی، مواد آلی، آمونیوم، شیرابه

## Prediction of COD and $\text{NH}_4^+$ -N Concentrations in Leachate from Lab-scale Landfill Bioreactors Using Artificial Neural Networks

Mohamad Javad Zoqi<sup>1</sup>

Taktom Zoqi<sup>2</sup>

Mohsen Saeedi<sup>3</sup>

(Received Jan. 25, 2009 Accepted Nov. 9, 2009)

### Abstract

In this study, we present an Artificial Neural Network (ANN) model for predicting COD and  $\text{NH}_4^+$ -N concentrations in landfill leachate from lab-scale landfill bioreactors. For this purpose, two different lab-scale systems were modeled, for neural network's data obtained. In the first system, the leachate from a fresh-waste reactor was drained to a recirculation tank and recycled every two days. In the second, the leachate from a fresh waste landfill reactor was fed through a well-decomposed refuse landfill reactor, while the leachate from a well-decomposed refuse landfill reactor was simultaneously recycled to a fresh waste landfill reactor. The results indicate that leachate  $\text{NH}_4^+$ -N and COD concentrations accumulated to a high level in the first system, while  $\text{NH}_4^+$ -N and COD removals were successfully carried out in the second. Also, average removal efficiencies in the second system reached 85% and 34% for COD and  $\text{NH}_4^+$ -N, respectively. Finally, the ANN's results exhibited the success of the model as witnessed by the excellent agreement obtained between measured and predicted values.

**Keywords:** Anaerobic Process, Artificial Neural Network, Organic Content,  $\text{NH}_4^+$ -N, Leachate

1. M.Sc. of Environmental Eng., Faculty Member of Environmental Research Institute of Jahad Daneshgahi, Rasht (Corresponding Author) (+98 131) 3232407 mj\_zoqi@civileng.iust.ac.ir
2. M.Sc. of Artificial Intelligence, Dept. of Computer Engineering, Shiraz University
3. Assoc. Prof., Dept. of Hydraulic and Environmental Eng., School of Civil Eng., Iran Uni. of Science and Tech., Tehran

- ۱- کارشناس ارشد محیط زیست، عضو هیئت علمی پژوهشکده محیط زیست جهاد دانشگاهی، رشت (نویسنده مسئول) (۰۱۳۱) ۳۲۳۲۴۰۷ mj\_zoqi@civileng.iust.ac.ir
- ۲- دانش آموخته کارشناسی ارشد هوش مصنوعی، دانشکده مهندسی کامپیوتر، دانشگاه شیراز
- ۳- دانشیار گروه آب و محیط زیست، دانشکده مهندسی عمران، دانشگاه علم و صنعت ایران، تهران

## ۱- مقدمه

در زباله، تولید شیرابه در مراکز دفن و نرخ تجزیه زباله را افزایش می‌دهد. با تسریع و کنترل این پدیده به‌وسیله بازچرخش شیرابه، سرعت تجزیه شیرابه افزایش می‌یابد بدون آنکه سلسه مراتب تجزیه که شامل دو فاز اصلی تولید اسید و تولید متان است، تغییر پیدا کند. افزایش نرخ تجزیه زباله و کاهش مدت زمان نگهداری از مراکز دفن به‌علت بازچرخش شیرابه سبب کاهش هزینه نگهداری از مراکز دفن می‌گردد [۹]. در مطالعه موردی بر روی یک مرکز دفن، مزایای بازچرخش شیرابه در افزایش نرخ تولید متان در مقایسه با حالت بدون بازچرخش بررسی شده است [۱۰]. در تحقیق مذکور حذف مواد آلی و  $\text{NH}_4^+$  موجود در شیرابه مراکز دفن تحت فرایند بی‌هوایی، میزان حذف  $\text{N}-\text{NH}_4^+$  به‌علت جذب سطحی توسط باکتری‌های متان‌ساز در فرایند بی‌هوایی به‌طور مجزا مورد مطالعه قرار نگرفته است.

در این مطالعه یک دفترچه زباله که از زباله تازه پر شده و یک دفترچه زباله که حاوی زباله خوب تجزیه شده است، برای حذف مواد آلی و جذب سطحی آمونیاک استفاده شد. یکی از اهداف این تحقیق بررسی اثرات بازچرخش بر کیفیت شیرابه خروجی از مدفون در سیستم‌های مختلف بود.

یکی از روش‌هایی که برای پیش‌بینی و تحلیل مهندسی به‌کار می‌رود، مدل‌های شبکه عصبی مصنوعی<sup>۱</sup> است. مدل‌های ANN تقليدي از فرایند یادگيري در مغز انسان است. اين مدل‌ها با استفاده از داده‌های آزمایشگاهی و ثبت شده آموزش پيداگرده و به‌ايون وسیله از روابط بين داده‌های ورودی و متغيرهای خروجی آگاه می‌شوند. يکی از مزایای مدل‌های ANN، کنترل و درک سیستم‌های پیچیده و غير خطی است. فرایند یادگيري در مدل‌های ANN به صورت موازي است، لذا اين مدل‌ها در تحمل خطا به‌خوبی عمل می‌کنند. اگرچه در ارتباط با مدل‌سازی تجزیه بی‌هوایی پسماندهای جامد شهری به‌وسیله شبکه عصبی اطلاعات کمی در دسترس است، اما از این وسیله در مدل سازی سیستم‌های زیست‌محیطی استفاده شده است. در علوم محیط زیست، از شبکه عصبی به عنوان روشی ساده و انعطاف‌پذیر جهت تحلیل مسائل غیر خطی استفاده می‌شود [۱۱]. برخی از کاربردهای شبکه عصبی شامل پیش‌بینی مقدار غلظت کلر در سیستم آب شهری، تعیین رابطه بیوی فاضلاب و اکسیژن بیولوژیکی مورد نیاز<sup>۲</sup> و پیش‌بینی کیفیت هوا می‌باشد [۱۲، ۱۳ و ۱۴]. یکی دیگر از اهداف این تحقیق، استفاده از نتایج آزمایشگاهی به‌دست آمده به‌منظور پیش‌بینی میزان غلظت مواد آلی

یکی از مهم‌ترین مسائل زیست‌محیطی مراکز دفن زباله، تولید و مدیریت شیرابه است. در بسیاری از مراکز دفن زباله، شیرابه تولیدی در مراکز دفن مجدد بر روی سطح مراکز دفن زباله تخليه می‌شود. بازچرخش این شیرابه بر روی مراکز دفن زباله سبب می‌شود فرایند تجزیه و تثبیت زباله جامد با سرعت بیشتری انجام گیرد و در نتیجه تولید بیوگاز در مراکز دفن زباله افزایش یابد [۱]. همچنین استفاده مجدد از شیرابه بر روی مراکز دفن زباله سبب افزایش تولید اسیدهای چرب فرار خواهد شد [۲]. به‌منظور تصفیه فاضلاب (شیرابه) مراکز دفن زباله، در دو دهه اخیر فرایندهای فیزیکی-شیمیایی یا بیولوژیکی مورد بررسی قرار گرفته‌اند [۳ و ۴]. با توجه به غلظت بالای مواد آلی (COD) و  $\text{N}-\text{NH}_4^+$ ، تصفیه این نوع فاضلابها مشکل و پر هزینه است. علاوه بر این، مشخصات و دبی فاضلاب (شیرابه) مراکز دفن زباله به عوامل مختلفی از جمله ترکیبات زباله جامد، میزان بارندگی، عمر مراکز دفن زباله و نوع پوششی که بر روی مراکز دفن زباله استفاده شده است، بستگی دارد. وضعیت اجتماعی-اقتصادی مکانی که زباله‌ها از آن جمع‌آوری گردیده، فصل، روشهای جمع‌آوری و دفع زباله و عوامل دیگر بر روی ترکیبات زباله جامد مؤثر هستند [۵]. غلظت ترکیبات موجود در فاضلاب مراکز دفن زباله در سال اول بالا است و با افزایش عمر مراکز دفن زباله کاهش می‌یابد [۶]. این تغییرات در غلظت ترکیبات تشکیل دهنده شیرابه باعث می‌گردد تصفیه آن مشکل و نیازمند استفاده از فرایندهای گوناگون باشد.

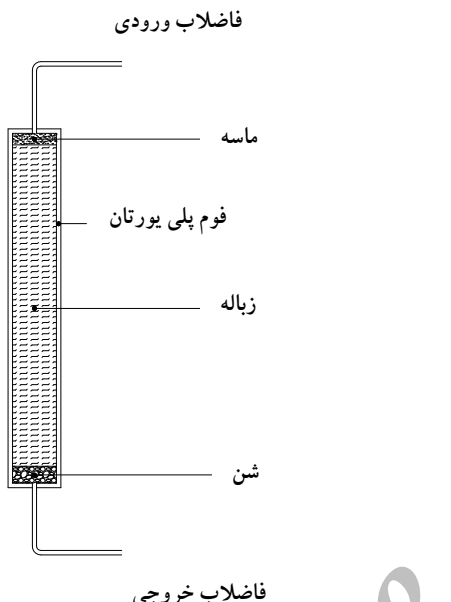
در تصفیه شیرابه‌های جوان به‌علت غلظت غلظت بالای اسیدهای چرب فرار، فرایندهای بیولوژیکی به‌خوبی عمل می‌کنند در صورتی که این فرایندها در تصفیه شیرابه‌های قدیمی راندمان کمتری دارند [۷]. همچنین مطالعات نشان می‌دهد، بازچرخش شیرابه بر روی مراکز دفن زباله سبب تولید فاضلاب تثبیت شده می‌شود که این فاضلاب دارای غلظت کمی از ترکیبات کربن تجزیه‌پذیر و غلظت بالایی از  $\text{N}-\text{NH}_4^+$  است [۸].

مزایای بازچرخش شیرابه بر روی مراکز دفن زباله در تحقیقات مختلفی مورد بررسی قرار گرفته است. در یکی از این مطالعات، مزایای بازچرخش شیرابه مراکز دفن در پنج مرکز دفن، در مقیاس میدانی بررسی شده است. طبق نتایج به‌دست آمده در این مطالعه، عوامل مؤثر در تجزیه بیولوژیکی فاضلاب مراکز دفن، شامل حرارت، pH، میزان مواد مغذی، مقدار رطوبت موجود و اندازه مواد تشکیل دهنده زباله است. از بین این عوامل، مقدار رطوبت در دسترس، بیشترین تأثیر را بر تجزیه و تثبیت شیرابه مراکز دفن دارد [۱]. در اکثر مراکز دفن، زباله به‌طور متناسب در معرض بارندگی قرار دارد. نفوذ نزولات جوی به محل دفن زباله و رطوبت موجود

<sup>1</sup> Artificial Neural Network (ANN)

<sup>2</sup> Biochemical Oxyegen Demand (BOD)

شیوه ساز مرکز دفن زباله یعنی راکتورهای A,B به وسیله ۲۴ کیلوگرم زباله تازه، پر شد. راکتور شیوه ساز دیگر یعنی راکتور C به وسیله ۴۴ کیلوگرم زباله خوب تجزیه شده، پر شد. در نهایت لایه ای از ماسه به ضخامت ۱۵ سانتی متر بر روی زباله ها قرار گرفت. سپس آب دیونیزه شده به هر یک از راکتورها اضافه شد تا زمانی که حدود یک لیتر شیرابه تولید گردید. در شکل ۱ این راکتورهای شیوه ساز به طور شماتیک نمایش داده شده است.



شکل ۱- راکتور شیوه ساز دفنگاه زباله

### ۲-۳- طرح و عملیات آزمایشگاهی

در این مطالعه دو روش برای تصفیه شیرابه در نظر گرفته شد که عبارت اند از: سیستم ۱ که فقط شامل راکتور A بود و سیستم ۲ که از راکتورهای B و C تشکیل شد.

در سیستم ۱، شیرابه تولیدی در راکتور حاوی زباله تازه یعنی راکتور A به سمت مخزن جمع آوری، هدایت و طی دو روز با استفاده از پمپ پریستالیک<sup>۳</sup> بر روی راکتور A پمپ شد (شکل ۲).

در سیستم ۲، راکتور B که از زباله تازه پر شده بود، به وسیله باز چرخش شیرابه به راکتور C که حاوی زباله خوب تجزیه شده بود، متصل شد. در این سیستم شیرابه تولیدی در راکتور B بر روی راکتور C پاشیده شد و همزمان شیرابه تولیدی در راکتور C بر روی راکتور B تخلیه گردید. این عمل هر دو روز و با استفاده از پمپ پریستالیک صورت گرفت (شکل ۳).

<sup>3</sup> Peristaltic

و آمونیوم موجود در شیرابه مرکز دفن زباله است، لذا از شبکه عصبی مصنوعی برای پیش‌بینی میزان غلظت این مواد در شیرابه استفاده شد.

## ۲- مواد و روشها

### ۱-۲- مواد

زباله استفاده شده در این تحقیق از مرکز دفن زباله سراوان، واقع در اطراف شهر رشت تأمین شد. مرکز دفن زباله سراوان از سال ۱۳۶۳ در حال فعالیت است. در این مطالعه، زباله‌ای که توسط کامیون‌های جمع‌آوری در مرکز دفن زباله سراوان تخلیه می‌شد، بالا صalte به عنوان زباله تازه جمع‌آوری شد. پس از جمع‌آوری زباله، کيسه‌های پلاستیکی و مواد غیر آلی حجمی از زباله جدا شده و زباله سرند شده به آزمایشگاه منتقل شد. تمام زباله‌ها پس از خرد شدن و مخلوط شدن در ستون‌های شیوه ساز دفنگاه زباله قرار داده شد. اجزای تشکیل دهنده زباله شامل ۶۵ درصد مواد زائد (آلی غذایی)، ۹ درصد کاغذ، ۱۲ درصد پلاستیک، ۲ درصد پارچه، ۰/۵ درصد فلز و ۱/۵ درصد دیگر مواد بود.

زباله خوب تجزیه شده نیز از قسمت‌هایی از مرکز دفن زباله سراوان که دارای عمر بیش از ۱۲ سال بود به وسیله حفاری برداشت گردید. تعریف زباله خوب تجزیه شده در اینجا عبارت است از زباله‌ای که در طی فرایندهای بی‌هوایی، پتانسیل تولید متان آن کاهش یافته است. لازم به ذکر است که تولید متان از ۳ تا ۱۵ ماه بعد از دفن زباله آغاز و تا ۱۵ سال بعد ادامه می‌یابد [۱۵]. زباله خوب تجزیه شده دارای مواد آلی کمتر از ۵ درصد و نیتروژن موجود در آن کمتر از ۳ درصد است. سپس این زباله مخلوط و به تکه‌های ۲ تا ۵ سانتی متری خرد می‌شود.

### ۲-۲- وسایل به کار رفته

راکتورهای شیوه ساز مرکز دفن زباله که در این تحقیق استفاده شد، دارای مقطع مربع و مساحت داخلی ۴۰۰ سانتی متر مربع بود. ارتفاع این راکتورها ۱۳۰ سانتی متر و حجم مؤثر آن ۴۰ لیتر بود. برای ساخت راکتورها از پلکسی گلس<sup>۱</sup> استفاده شده و برای جلوگیری از تبادل حرارتی با محیط از فوم پلی یورتان<sup>۲</sup> برای عایق‌بندی راکتورها استفاده شد. راکتورهای شیوه ساز، برای نگهداری دما در ۳۰±۲ درجه سانتی‌گراد، در محفظه کننده دما قرار گرفتند.

برای جلوگیری از ایجاد مانع در خروج آب، انتهای تمام راکتورها به ضخامت ۱۵ سانتی متر به وسیله شن پر شد. دو راکتور

<sup>1</sup> Plexiglass

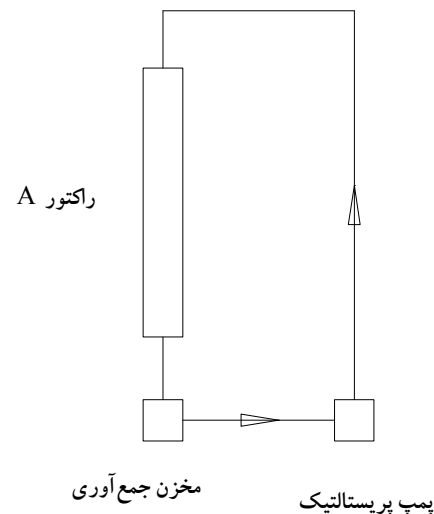
<sup>2</sup> Polyurethane

عصبي استفاده شد. همچنین برای برآورد میزان غلظت  $\text{NH}_4^+$  از غلظتهاي اندازهگيري شده  $\text{NH}_4^+-\text{N}$  به عنوان متغير خروجي شبکه عصبي و از غلظتهاي ثبت شده COD به جاي غلظت  $\text{NH}_4^+-\text{N}$  در دادههاي ورودي شبکه عصبي استفاده شد.

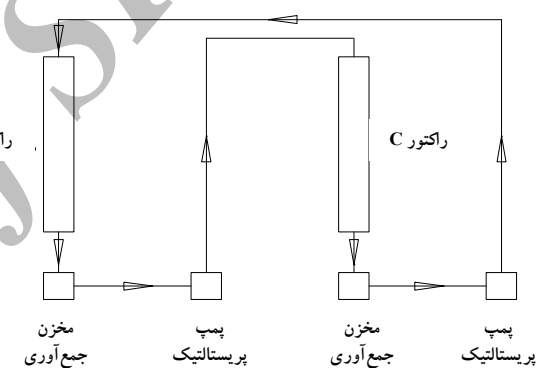
شبکه عصبي با الگوريتم پس انتشار به يك ابزار مناسب برای مدل سازی سистем های زیست محيطی تبدیل شده است [۱۱]. شبکه عصبي استفاده شده در اين مطالعه دارای الگوريتم پس انتشار، تابع انتقال سigmoid<sup>۲</sup> در لایه پنهان و تابع انتقال خطی در لایه خروجي بود. به منظور انتخاب ساختمان شبکه عصبي از آزمون و خطا استفاده شد. يكى از پارامترهاي مهم در همگرایي شبکه عصبي نرخ يادگيری است. همچنین نرخ يادگيری يكى از پارامترهاي مؤثر در عدم ايجاد كمينه محلی و دستيابي به كمينه مطلق در شبکه عصبي نيز می باشد [۱۴]. هرچند که فقط با انتخاب بهينه نرخ يادگيری، دستيابي به كمينه مطلق در شبکه عصبي تضمین نمى گردد، بلکه انتخاب بهينه اين پارامتر به همراه ساير پارامترهاي مؤثر و همچنین ساختمان شبکه عصبي، سبب دستيابي به كمينه مطلق می شود.

اگر برای نرخ يادگيری مقدار زياردي انتخاب شود، الگوريتم ناپايدار خواهد شد. در مقابل اگر برای نرخ يادگيری مقدار کمي در نظر گرفته شود، الگوريتم در مدت زمان طولاني همگرا و در نتيجه مدت آموزش افزایش می یابد. يكى دیگر از پارامترهاي شبکه عصبي، مومنت است که اين پارامتر میزان تغييرات ضرائب وزني را تعیین می کند. شبکه عصبي بدون مومنت در كمينه محلی کم عمق گرفتار می شود [۱۴]. در اين مطالعه نرخ يادگيری و مومنت به ترتيب ۰/۹ و ۰/۰ انتخاب شد.

در آزمایش های انجام شده در اين مقاله، شيرابه خروجي از سه راکتور مورد بررسی قرار گرفت. در طول مدت آزمایش از شيرابه هر راکتور ۲۲ نمونه تهيه و تحليل شد. برای تهيه دادههاي تست و آموزش، در شبکه عصبي اطلاعات مربوط به هر سه راکتور با هم تلفيق شد. پائزده نمونه از هر يك از راکتورهاي A و B و چهارده نمونه از راکتور C به عنوان دادههاي آموزش در نظر گرفته شده و هشت نمونه از هر يك از راکتورهاي A و B و هفت نمونه از راکتور C دادههاي تست شبکه عصبي را تشکيل داد. بنابراین تعداد کل نمونههاي مورد استفاده در شبکه عصبي ۶۶ عدد بود که ۴۴ عدد از آنها برای آموزش و ۲۲ نمونه باقی مانده برای تست شبکه عصبي به کار گرفته شدند. اطلاعاتي که از طريقي آزمایش از هر يك از نمونهها به دست آمده عبارت اند از مقدار pH، غلظت  $\text{NH}_4^+-\text{N}$  و COD. علاوه بر اين، زمان (روز) نمونهگيري از فاضلاب، به عنوان يكى از دادههاي ورودي شبکه عصبي ثبت شد.



شکل ۲- نمایش شماتیک از عملکرد سیستم



شکل ۳- نمایش شماتیک از عملکرد سیستم

سپس نمونه های فاضلاب در مدت شش روز از قسمت خروجي راکتورها جمع آوری و غلظت COD،  $\text{NH}_4^+-\text{N}$  و pH و اندازه گيری شد. میزان pH به وسیله pH متر شرکت هج<sup>۱</sup> اندازه گيری شد. اندازه گيری غلظت COD و  $\text{NH}_4^+-\text{N}$  مطابق کتاب استاندارد آنالیز آب و فاضلاب ویرایش شانزدهم انجام شد [۱۶].

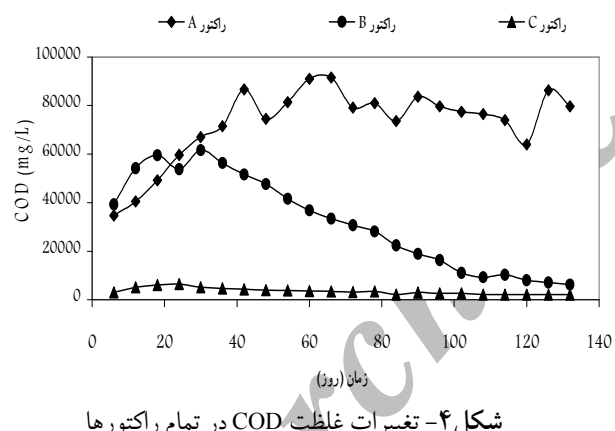
**۴-۲- مدل سازی شبکه عصبي مصنوعي**  
برای توصيف وضعیت شیرابه مراکز دفن زباله، از پارامترهاي نظير COD، BOD، غلظت آمونیوم، سولفات، كلراید و میزان pH استفاده می شود [۱۷]. در اين مقاله به منظور پيش بینی میزان غلظت COD در فاضلاب دفنگاه زباله از پارامترهاي دمای محیط، pH، میزان غلظت  $\text{NH}_4^+-\text{N}$  و زمان به عنوان دادههاي ورودي شبکه

<sup>2</sup> Sigmoid Transverse Function

<sup>1</sup> HACH

مطالعات گذشته مشخص شده که هر چه غلظت COD در شیرابه مراکز دفن زباله بیشتر باشد، مواد آلی تمايل بیشتری به اكسید شدن توسط راديکال OH<sup>•</sup> دارند [۱۹]. به عبارت دیگر افزایش غلظت COD به تهایی سبب افزایش راندمان حذف مواد آلی نمی‌شود بلکه برای افزایش این راندمان افزایش همزمان pH و COD لازم است. به همین علت در این مطالعه نیز در برخی موارد علی‌رغم افزایش غلظت COD در شیرابه، راندمان حذف کاهش یافت.

مواد آلی موجود در شیرابه مراکز دفن زباله از نظر تجزیه‌پذیری بیولوژیکی دارای خواص متفاوتی هستند. یکی از معیارهای سنجش میزان تجزیه‌پذیری بیولوژیکی نسبت COD/BOD<sub>5</sub> است. این نسبت نشان دهنده درصدی از مواد آلی موجود در شیرابه است که از طریق بیولوژیکی تجزیه می‌گردند. برای شیرابه مراکز دفن زباله جدید، این نسبت بیش از ۰/۴ و برای مراکز دفن زباله قدیمی کمتر از ۰/۰ است [۲۰ و ۲۱]. لذا پخشی از مواد آلی مانند اسیدهای هیومیک<sup>۳</sup> که دارای ساختمان سلولی پیچیده‌ای هستند به وسیله فرایند بیولوژیکی تجزیه نمی‌شوند و در شیرابه باقی می‌مانند. به همین علت در این مطالعه حداقل راندمان حذف در سیستم ۲ از ۹۰ درصد تجاوز نکرد.



شکل ۴- تغییرات غلظت COD در تمام راکتورها

### ۲-۳- تغییرات COD

تغییرات غلظت NH<sub>4</sub><sup>+</sup>-N در شیرابه راکتورها در شکل ۵ نشان داده است. مقدار غلظت NH<sub>4</sub><sup>+</sup>-N در راکتور A همواره افزایش یافت و این افزایش در روز اول شدیدتر بود. بیشترین غلظت ۳۰۶۰ میلی‌گرم در لیتر بود. میزان غلظت NH<sub>4</sub><sup>+</sup>-N در راکتورهای B و C تا ۴۸ روز اول آزمایش، افزایش یافت به طوری که بیشترین غلظت در این راکتورها به ترتیب برابر ۲۶۵۰ میلی‌گرم در لیتر و

<sup>3</sup> Humic Acid

به منظور بررسی کارایی شبکه عصبی از دو پارامتر آماری استفاده شد که عبارت اند از مجذور میانگین مربعات خطای<sup>۱</sup> (RMSE) و ضریب همبستگی (R) که به ترتیب طبق روابط ۱ و ۲ محاسبه می‌شوند

$$RMSE = \sqrt{\frac{1}{n} \sum_{i=1}^n (y_i - \bar{x}_i)^2} \quad (1)$$

$$R = \frac{\sum (x_i - \bar{x})(y_i - \bar{y})}{\sqrt{(x_i - \bar{x})^2 \sum (y_i - \bar{y})^2}} \quad (2)$$

که در آن  $y_i$  مقدار پیش‌بینی شده به وسیله شبکه عصبی،  $\bar{x}_i$  مقدار بدست آمده از آزمایش،  $\bar{y}$  میانگین مقادیر پیش‌بینی شده و  $\bar{x}$  میانگین مقادیر ثبت شده است.

## ۳- نتایج و بحث

### ۳-۱- تغییرات COD

میزان غلظت COD در خروجی راکتورهای A-C در شکل ۴ نشان داده شده است. میزان غلظت COD در فاضلاب مرکز دفن زباله (A) پس از شروع آزمایش به شدت افزایش یافت و بیشترین مقدار آن برابر ۹۱۴۵۰ میلی‌گرم در لیتر بود که در روز ۶۶ اتفاق افتاد. میزان غلظت COD در آخرین روز آزمایش (روز ۱۳۲) در راکتور A به ۷۹۷۰۰ میلی‌گرم در لیتر رسید.

در سیستم ۲، غلظت COD در هفته‌های اول آزمایش افزایش یافت و بیشترین مقدار آن در راکتور B برابر ۶۱۶۰۰ میلی‌گرم در لیتر بود که در روز ۳۰ اتفاق افتاد. سپس میزان غلظت COD در فاضلاب راکتور B به ۶۲۷۰۰ میلی‌گرم در لیتر در روز ۱۳۲ ام، به تدریج کاهش یافت که این روند به علت تجمع اسیدهای کربوکسیلیک<sup>۲</sup> است [۱۸]. راکتور B به راکتور حاوی زباله خوب تجزیه شده یعنی راکتور COD متصل بود. غلظت خروجی از راکتور C همواره کم بود که نشان می‌دهد سیستم ۲ در تصفیه مواد آلی فاضلاب مؤثر عمل کرده است.

در سیستم ۱، تغییرات قابل توجهی در غلظت COD شیرابه تولیدی مشاهده نشد. در صورتی که در سیستم ۲، در طول مدت آزمایش راندمان حذف COD همواره بیش از ۶۵ درصد و کمتر از ۹۰ درصد می‌باشد. در این مطالعه در برخی موارد علی‌رغم افزایش غلظت COD در شیرابه، راندمان حذف کاهش یافت. همچنین میزان راندمان حذف مواد آلی از ۹۰ درصد تجاوز نکرد. در

<sup>1</sup> Root Mean Square Error (RMSE)

<sup>2</sup> Carboxylic Acid

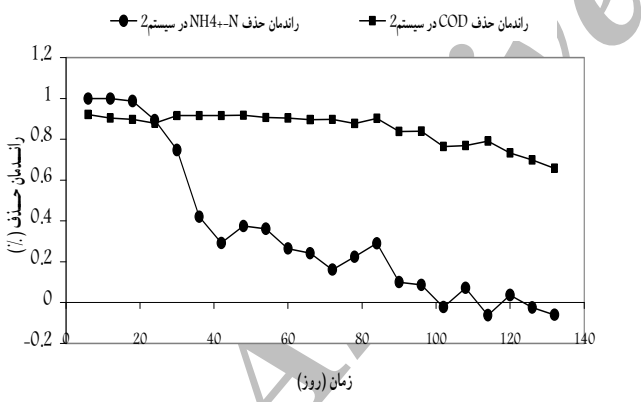
راندمان حذف مواد آلی و  $\text{NH}_4^+$ -N در راکتور C، به صورت تابعی از زمان در شکل ۶ نشان داده شده است. راندمان حذف مواد آلی و  $\text{NH}_4^+$ -N از رابطه ۳ محاسبه شد

$$X_{\text{in}} - X_{\text{eff}}) / X_{\text{in}} \times 100 = \text{راندمان حذف} \quad (3)$$

که در آن

$X_{\text{in}}$  میزان جرم ورودی پارامتر X به راکتور،  $X_{\text{eff}}$  میزان جرم خروجی پارامتر X از راکتور و X برای محاسبه راندمان حذف COD برابر میزان غلظت COD و برای محاسبه راندمان حذف  $\text{NH}_4^+$ -N برابر میزان غلظت  $\text{NH}_4^+$ -N بر حسب میلی‌گرم در لیتر است.

با توجه به شکل ۶، میزان راندمان حذف COD و  $\text{NH}_4^+$ -N در طول زمان کاهش می‌یابد و این کاهش در مورد  $\text{NH}_4^+$ -N شدیدتر است. به طوری که میزان راندمان حذف  $\text{NH}_4^+$ -N در راکتور C، در روزهای اول بالا بوده و پس از گذشت ۹۶ روز از آزمایش تقریباً به صفر رسید و این راندمان تا انتهای آزمایش باقی ماند. غلظت  $\text{NH}_4^+$ -N موجود در فاضلاب سیستم ۲، تنها از طریق جذب سطحی در راکتور C کاهش یافت. با بازچرخش مداوم شیرابه در سیستم دو، میزان غلظت  $\text{NH}_4^+$ -N در راکتور C به مرور زمان افزایش یافت تا زمانی که به حالت اشباع رسید. پس از حالت اشباع، هیچ فرایندی برای حذف  $\text{NH}_4^+$ -N وجود ندارد.



شکل ۶- راندمان حذف COD و  $\text{NH}_4^+$ -N در راکتور C

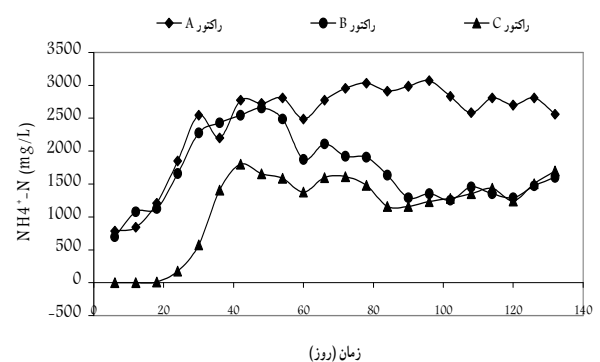
### ۳-۳- تغییرات pH

نتایج نحوه تغییرات pH تمام راکتورها در شکل ۷ آمده است. میزان pH در فاضلاب خروجی از راکتور A در روز ۱۶ ام برابر  $5/9$  بود و تا روز ۱۴۰ غام به ۶ رسید. پس از آن میزان pH فاضلاب تا  $7/2$  در روز ۱۳۲ افزایش یافت. نتایج نشان داد که پس از آغاز بازچرخش شیرابه، میزان pH در راکتور A افزایش یافت، که علت

۱۸۰۰ میلی‌گرم در لیتر بود. پس از آن غلظت  $\text{NH}_4^+$ -N در هر دو راکتور B و C کاهش یافت و این کاهش در راکتور B شدیدتر بود به طوری که در هفته‌های پایانی آزمایش، میزان غلظت  $\text{NH}_4^+$ -N در راکتورهای B و C تقریباً برابر شد.

غلظت  $\text{NH}_4^+$ -N در شیرابه خروجی از راکتورها در ۳۰ روز اول دارای افزایش سریعی بود. این افزایش به علت تجزیه مواد آلی نیتروژن دار موجود در مراکز دفن زباله رخ داد. غلظت  $\text{NH}_4^+$ -N در شیرابه راکتور A تا انتهای دوره آزمایش در سطح بالای باقی ماند و آمونیوم- نیتروژن به وجود آمده در این راکتور در شیرابه تجمع یافت زیرا میکروارگانیسم‌های نیتریفیکاسیون<sup>۱</sup> که در محیط هوایی به خوبی عمل می‌کنند، در فرایندهای بی‌هوایی وجود ندارند [۱۸].

در سیستم ۲، مقداری از  $\text{NH}_4^+$ -N از شیرابه راکتورهای B و C که در آنها حالت بی‌هوایی حاکم بود، حذف شد. علت این حذف جذب سطحی آمونیاک شیرابه توسط زباله‌های خوب تجزیه شده است که از آن برای رشد باکتری‌های بی‌هوایی استفاده می‌شود [۲۲]. همچنین غلظت  $\text{NH}_4^+$ -N در شیرابه راکتور C در برخی مواقع بیشتر از غلظت  $\text{NH}_4^+$ -N در راکتور B بود. این اختلاف در روزهای ۱۱۴ و ۱۳۲ از آزمایش رخ داد. در این روزها میزان غلظت  $\text{NH}_4^+$ -N در راکتور C به ترتیب ۴۰.۸۰ و ۱۰۰ میلی‌گرم در لیتر بیشتر از راکتور B بود. این اختلاف بیشتر از خطای آزمایشگاهی است، لذا غلظت بیشتر  $\text{NH}_4^+$ -N در راکتور C نسبت به راکتور B در این سه روز، ناشی از خطای آزمایشگاهی نمی‌باشد. همان‌طور که گفته شد مقداری از  $\text{NH}_4^+$ -N در راکتور C توسط زباله خوب تجزیه شده، جذب سطحی گردید. رخ دادن فرایند آزادسازی آمونیاک و یا تبدیل ترکیبات آلی نیتروژن دار به آمونیاک در راکتور C باعث شد تا غلظت  $\text{NH}_4^+$ -N در راکتور C در برخی مواقع بیشتر از راکتور B باشد. این نتیجه در مطالعات دیگران نیز مشاهده شده است [۲۳].



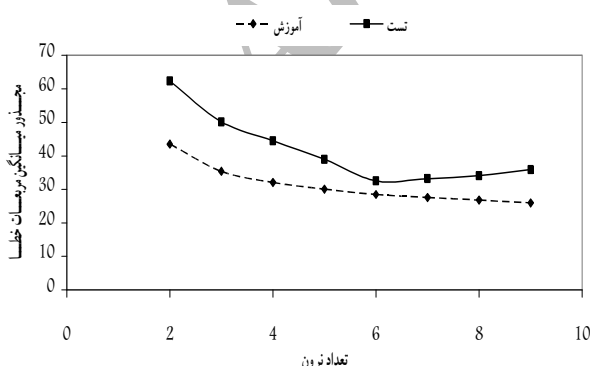
شکل ۵- تغییرات غلظت  $\text{NH}_4^+$ -N در تمام راکتورها

<sup>1</sup> Nitrification

فاضلاب خروجی گردید. فاضلاب از راکتور B به راکتور C انتقال یافت. در این راکتور اسید تولید شده در راکتور B، به وسیله باکتری های متان ساز به متان و دی اکسید کربن تبدیل شد. این فرایند باعث افزایش pH در فاضلاب گردید. فاضلاب خروجی از راکتور C به راکتور B هدایت شد و به علت بالا بودن pH، تجزیه بیولوژیکی بهتر صورت گرفت و به همین علت حذف مواد آلی در راکتور B بیشتر از راکتور A بود. همچنین بالا بودن pH ورودی به راکتور B باعث شد شیرابه خروجی از این راکتور نسبت به دوره pH قبل دارای pH بیشتری باشد. در راکتور C به علت پایین بودن pH ورودی (شیرابه خروجی از راکتور B) شیرابه خروجی از این راکتور نسبت به دوره قبل دارای pH کمتری بود. این تغییرات تا زمان تثبیت شیرابه ادامه یافت و پس از تثبیت، مقدار pH در دو راکتور به حالت تعادل رسید.

**۴-۳- تخمین میزان غلظت  $\text{NH}_4^+$ -N در فاضلاب دفنگاه زباله**  
به منظور پیش‌بینی میزان غلظت  $\text{NH}_4^+$ -N در شیرابه، از شبکه عصبی با الگوریتم پس انتشار استفاده شد. داده‌های ورودی شبکه عصبی شامل COD بر حسب میلی‌گرم در لیتر، pH و زمان (روز) نمونه‌گیری و خروجی این شبکه عصبی، غلظت  $\text{NH}_4^+$ -N بر حسب میلی‌گرم در لیتر بود.

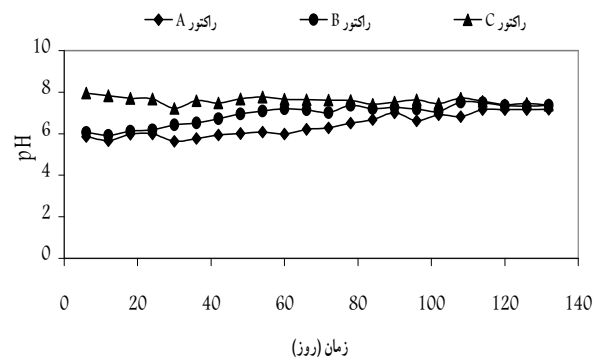
یکی از مهم‌ترین مراحل مدل‌سازی، بهینه‌سازی شبکه عصبی است که با آزمون روشهای مختلف به دست می‌آید [۲۵]. در این مطالعه به منظور بهینه‌سازی تعداد نرون‌ها از الگوریتم پس انتشار از شبکه عصبی با یک لایه پنهان استفاده شد. در داده‌های آموزش شبکه عصبی با افزایش نرون در لایه پنهان، مجذور میانگین مربعات خطای کاهش می‌یابد در حالی که اگر تعداد نرون‌ها بیش از ۶ عدد باشد، مجذور میانگین مربعات خطای در داده‌های تست افزایش می‌یابد. این افزایش نشان دهنده آموزش بیش اندازه شبکه عصبی است. تغییرات مجذور میانگین مربعات خطای در شکل ۸ نشان داده شده است.



شکل ۸- تغییرات مجذور میانگین مربعات خطای در شبکه عصبی پیش‌بینی کننده غلظت  $\text{NH}_4^+$ -N

آن فعالیت باکتری‌های تخمیر کننده و هایدرولیتیک<sup>۱</sup> است [۱۸]. مقدار pH در راکتور B پس از ۴۸ روز اول، از ۶ به ۷ افزایش یافت و پس از آن میزان pH همواره بیشتر از ۷ بود به طوری که بیشترین pH میزان pH که در روز ۱۰۸ ام اتفاق افتاد برابر ۷/۵ بود. مقدار pH در راکتور C در طول مدت آزمایش بیشتر از ۷ بود به طوری که کمترین مقدار آن در روز ۱۳۰ ام برابر ۷/۲ و بیشترین مقدار آن در روز ششم برابر ۸ بود. راکتور C حاوی زباله خوب تجزیه شده بود. میزان pH در این راکتور در حدود ۸ بود. ورود شیرابه راکتور به راکتور C، سبب کاهش pH خروجی از این راکتور شد. به همین علت بیشترین میزان pH در راکتور C مربوط به اولین روز نمونه‌برداری بود. بیشترین غلظت مواد آلی در راکتور B در روز سی ام آزمایش رخ داد (شکل ۹). به همین علت شیرابه خروجی از راکتور C در این زمان کمترین pH را داشت.

در شیرابه خروجی از راکتور C که حاوی زباله خوب تجزیه شده بود، مقدار pH در حدود ۸ باقی ماند زیرا مقدار pH در شیرابه تثبیت شده در حدود ۸ بود. مقدار pH در راکتور B به علت فعالیت باکتری‌های متان ساز افزایش یافت که نشان دهنده تجزیه زباله در سیستم دو بود. زیرا با کاهش ترکیبات مواد آلی در شیرابه خروجی از راکتور B، میزان pH افزایش می‌یابد [۲۴]. اما افزایش pH در راکتور A در نتیجه فعالیت باکتری‌های تخمیر کننده و هایدرولیتیک بود و نه باکتری‌های متان ساز، لذا افزایش pH نشان دهنده افزایش فعالیت باکتری‌های تخمیر کننده است که تأثیری بر میزان تجزیه مواد آلی ندارد.



شکل ۷- تغییرات pH در خروجی تمام راکتورها

در این مطالعه پس از ۱۱۴ روز شیرابه خروجی از راکتورهای B و C، به تثبیت رسید و با توجه به شکل ۷ میزان pH در دو راکتور B و C پس از تثبیت در روز ۱۱۴ ام به طور تقریبی با هم برابر بود. در راکتور B تخمیر و فعالیت باکتری‌ها بر روی ترکیبات تجزیه‌پذیر سبب تولید و تجمع اسید و کاهش مقدار pH در

<sup>1</sup> Hydrolytic

بود. شاخصهای آماری نشان می‌دهد که شبکه عصبی در تخمین میزان غلظت COD نیز دارای کارایی بالای است.

با توجه به اینکه از مطالعات مشابه، اطلاعات کمی در دسترس است، امکان مقایسه نتایج حاصل از پیش‌بینی در این مقاله با سایر مطالعات وجود ندارد. اما با توجه به شاخصهای آماری و همچنین موارد زیر می‌توان از کارایی شبکه عصبی اطمینان حاصل کرد.

۱- با توجه به مطالعات گذشته میزان pH و فعالیتهای بیولوژیکی دارای ارتباط محسوس با یکدیگر هستند [۱۸، ۲۴]. این رابطه در این مطالعه نیز نشان داده شد. لذا یکی از پارامترهای ورودی شبکه عصبی میزان pH فاضلاب است و از این طریق تغییرات pH بر شبکه عصبی تاثیر داده شده است.

۲- با توجه به مطالعات مهم‌ترین عامل مؤثر بر نرخ تجزیه بی‌هوایی در مراکز دفن زباله، رطوبت است [۱]. با توجه به اینکه در کلیه آزمایش‌های این مطالعه، شیرابه راکتورها بازچرخش شد، میزان رطوبت موجود در دفنگاه زباله همواره ثابت بود. لذا میزان رطوبت موجود در دفنگاه در داده‌های ورودی شبکه عصبی در نظر گرفته نشد و این امر آسیبی در شبکه عصبی ایجاد نکرد.

۳- یکی از عوامل مؤثر بر غلظت مواد آلی و آمونیوم در شیرابه دفنگاه زباله، عمر مرکز دفن زباله است [۵، ۱۵]. لذا در این مقاله این پارامتر به عنوان یکی از داده‌های ورودی شبکه عصبی در نظر گرفته شد.

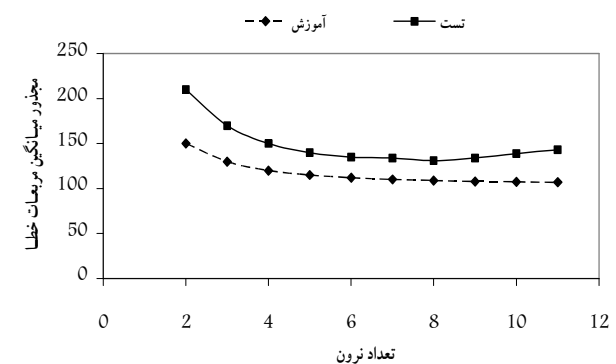
۴- یکی دیگر از عوامل مؤثر بر نرخ تجزیه بی‌هوایی، دمای محیط است [۱]. با توجه به اینکه کلیه راکتورهای شبیه‌ساز در این مطالعه در محفظه کنترل کننده دما و در حرارت ثابت نگهداری شدند، لذا با توجه به ثابت بودن دما از تأثیر آن در شبکه عصبی صرف نظر شد.

#### ۴- نتیجه گیری

در این تحقیق برای جداسازی مواد آلی و نیتروژن از دو سیستم مختلف استفاده شد که با مقایسه آنها می‌توان سیستم بهینه به منظور تصفیه شیرابه‌ها را انتخاب نمود. نتایج نشان داد که در صورت بازچرخش شیرابه بر روی زباله تازه (سیستم یک)، میزان pH در شیرابه کاهش می‌یابد و انباستگی مواد آلی و  $\text{NH}_4^+$  رخ می‌دهد. در سیستم ۲، که شیرابه به ترتیب از زباله تازه و زباله خوب تجزیه شده عبور می‌کند، حذف مواد آلی و تنظیم pH با راندمان بالای انجام می‌شود. اما در سیستم ۲، به دلیل اینکه  $\text{NH}_4^+$  تنها از طریق جذب سطحی قابل حذف است، تصفیه  $\text{NH}_4^+$  دارای راندمان حذف کمتری نسبت به راندمان حذف مواد آلی است. به طور معمول در مراکز دفن زباله، زباله خوب تجزیه شده در لایه‌های پایین و زباله تازه در سطح قرار دارد. لذا از سیستم ۲ می‌توان به سهولت و با هزینه کم در مراکز دفن زباله استفاده کرد.

چنانچه تعداد نرون‌ها از حد مشخصی افزایش یابد، شبکه عصبی به جای آموزش اقدام به حفظ داده‌ها می‌کند، لذا مجذور میانگین مربعات خطأ در داده‌های آموزش کاهش و در داده‌های تست افزایش می‌یابد. با توجه به نکات بالا، تعداد نرون بهینه در این شبکه عصبی، شش عدد انتخاب شد. شبکه عصبی بهینه به منظور پیش‌بینی غلظت  $\text{N}-\text{NH}_4^+$  دارای الگوریتم پس انتشار، یک لایه پنهان دارای ۶ نرون و تابع انتقال سیگموئید و یک لایه خروجی همراه با تابع انتقال خطی بود. ضریب همبستگی و مجذور میانگین مربعات خطأ در این شبکه عصبی به ترتیب در داده‌های تست برابر ۰/۹۹۹ و ۳۲/۶۴ و برای داده‌های آموزش، برابر ۰/۹۹ و ۲۸/۵۲ بود. با توجه به شاخصهای آماری میزان کارایی شبکه عصبی در تخمین غلظت  $\text{N}-\text{NH}_4^+$ ، بالا به نظر می‌رسد.

۳-۵- تخمین میزان غلظت COD در شیرابه دفنگاه زباله داده‌های ورودی شبکه عصبی برای پیش‌بینی میزان غلظت COD در شیرابه دفنگاه زباله شامل  $\text{N}-\text{NH}_4^+$  بر حسب میلی‌گرم در لیتر، pH و زمان (روز) نمونه‌گیری و خروجی این شبکه عصبی غلظت COD بر حسب میلی‌گرم در لیتر است. چنانچه در شبکه عصبی پیش‌بینی کننده غلظت COD، تعداد نرون‌های لایه پنهان اول از ۸ عدد بیشتر انتخاب گردد، شبکه عصبی به جای آموزش اقدام به حفظ داده‌ها می‌کند، لذا مجذور میانگین مربعات خطأ در داده‌های آموزش کاهش و در داده‌های تست افزایش می‌یابد (شکل ۹).



شکل ۹- تغییرات مجذور میانگین مربعات خطأ در شبکه عصبی پیش‌بینی کننده غلظت COD

با توجه به نکات بالا، شبکه عصبی بهینه به منظور پیش‌بینی غلظت COD دارای الگوریتم پس انتشار، یک لایه پنهان دارای ۸ نرون و تابع انتقال سیگموئید و یک لایه خروجی همراه با تابع انتقال خطی می‌باشد. ضریب همبستگی و مجذور میانگین مربعات خطأ در این شبکه عصبی به ترتیب در داده‌های تست برابر ۰/۹۹ و ۱۴۲/۲۱ و برای داده‌های آموزش به ترتیب برابر ۰/۹۹ و ۱۴۲/۲۱

هزینه کمتر و اطمینان بیشتر انجام داد، زیرا برای آگاهی از غلظت مواد آلی و آمونیوم در شیرابه، کافی است غلظت یکی از این مواد به عنوان داده ورودی شبکه عصبی قرار گیرد تا شبکه عصبی مقدار غلظت ماده دیگر را با کارایی بالا پیش‌بینی کند.

نتایج به دست آمده از مدل‌های شبکه عصبی نشان داد که می‌توان از شبکه عصبی برای برآورد میزان غلظت COD و  $\text{NH}_4^+$  با کارایی بالا استفاده کرد. با استفاده از مدل‌های شبکه عصبی در مراکز دفن زباله می‌توان پایش فاضلاب دفنگاه زباله را با

## ۵- مراجع

- 1- Reinhart, D.R., and Al-Yousfi, B. (1996). "The impact of leachate recirculation on municipal solid waste landfill operating characteristics." *Waste Management and Research*, 14 (4), 337-346.
- 2- O'Keefe, D.M., and Chynoweth, D.P. (2000). "Influence of phase separation, leachate recycle and aeration on treatment of municipal solid waste in simulated landfill cells." *Bioresour. Technol.*, 72 (1), 55-66.
- 3- Forgie, D.J.L. (1988). "Selection of the most appropriate leachate treatment methods part 1: a review of potential biological leachate treatment methods." *Water. Poll. Res.*, 23(2), 308-328.
- 4- Quasim, S. R., and Chiang, W. (1994). *Sanitary Landfill leachate: Generation, control, and treatment*, Technomic Publishing, Lancaster, PA.
- 5- El-Fadel, M., Findikakis, A.N., and Leckie, J.O. (1997). "Environmental impacts of solid waste landfilling." *J. of Environmental Management*, 50 (1), 1-25.
- 6- Kjeldsen, P., Barlaz, M. A., Rooker, A. P., Baun, A., and Ledin, A. (2002). "Present and long-term composition of MSW landfill leachate: A review." *Critical Reviews Environmental Science and Technology*, 32 (4), 297-336.
- 7- Amokrane, A., Comel, C., and Veron, J. (1997). "Landfill leachates pre-treatment by coagulation flocculation." *Water Res.*, 31 (11), 2775-2782.
- 8- Knox, K. (1985). "Leachate treatment with nitrification of ammonia." *Water Research*, 19 (7), 895-904.
- 9- Pohland, F.G., and Al-Yousfi, B. (1994). "Design and operation of landfills for optimum stabilization and biogas production." *Water Science and Technology*, 30 (12), 117-124.
- 10- Demir, A., Bilgili, M.S., and Ozkaya, B. (2004). "Effect of leachate recirculation on refuse decomposition rates at landfill site: A case study." *International J. of Environmental and Pollution*, 21 (2), 175-188.
- 11- Bestamin, O., and Ahmet, D. (2007). "Neural network prediction model for the methane fraction inbiogas from field-scale landfill bioreactors." *Environmental Modelling and Software*, 22 (6), 815-822
- 12- Rodriguez, M.J., and Se'rodes, J.B. (1999). "Assessing empirical linear and non-linear modelling of residual chlorine in urban drinking water systems." *Environmental Modelling and Software*, 14 (1), 93-102.
- 13- Onkal-Engin, G., Demir, I., and Engin, S.N. (2005). "Determination of the relationship between sewage odour and BOD by neural networks." *Environmental Modeling and Software*, 20 (7), 843-850.
- 14- Kolehmainen, M., Martikainen, H., and Ruuskanen, J. (2001). "Neural networks and periodic components used in air quality forecasting." *Atmospheric Environment*, 35 (5), 815-825
- 15- EPA. (2004). *Environmental Guidelines : Landfill siting, design, operation and rehabilitation*, Environmental Protection Agency, Queensland.
- 16- APHA., AWWA., and WPCF. (1992). *Standard methods for the examination of water and wastewater*, 16<sup>th</sup> Ed., American Public Health Association, American Water Works Association and Water Pollution Control Federation, Washington D.C.
- 17- Reinhart, D.R., and Grosh, C.J. (1998). *Analysis of florida MSW landfill leachate quality*, Final Reactor, Center of Solid and HazardousWaste Management, Florida.
- 18- Benson, C. H., Barlaz, M. A., Lane, D. T., and Rawe, J. M. (2007). "Practice review of five bioreactor/recirculation landfills." *Waste Management*, 27 (1), 13-29.
- 19- Wang, S., Wu, X., Wang, Y., Li, Q., and Tao., M. (2008). "Removal of organic matter and ammonia nitrogen from landfill leachate by ultrasound." *Ultrasonics Sonochemistry*, 15 (6), 933-937.
- 20- Marttinen, S.K., Kettunen, R.H., and Rintala, J.A. (2003). "Occurrence and removal of organic pollutants in sewages and landfill leachates." *Sci. Total Environ.*, 301 (1-3), 1-12.
- 21- Kang, K.H., Shin, H.S., and Park, H. (2002). "Characterization of humic substances present in landfill leachates with different landfill ages and its implications." *Water Res.*, 36, 4023-4032.
- 22- Kettunen, R.H., Hoilijoki, T.H., and Rintala, J.A. (1996). "Anaerobic and sequential anaerobic-aerobic treatments of municipal landfill leachate at low temperatures." *Bioresour. Technol.*, 58 (1), 31-40.
- 23- He, P.J., Shao, L.M., Guo, H.D., Li, G.J., and Lee, D.J. (2006). "Nitrogen removal from recycled landfill leachate by ex situ nitrification and in situ denitrification." *Waste Manage*, 26 (8), 838-845.
- 24- Reinhart, D. R., and Townsend, T. G. (1997). *Landfill bioreactor design and operation*, Lewis Publishers, New York.
- 25- Almasri, M.N., and Kaluarachchi, J.J. (2005). "Modular neural networks to predict the nitrate distribution in groundwater using the onground nitrogen loading and recharge data." *Environmental Modeling and Software*, 20 (7), 851- 871.